STRUCTURAL MECHANICS OF 3D WOVEN HONEYCOMB COMPOSITES

LEKHANI TRIPATHI

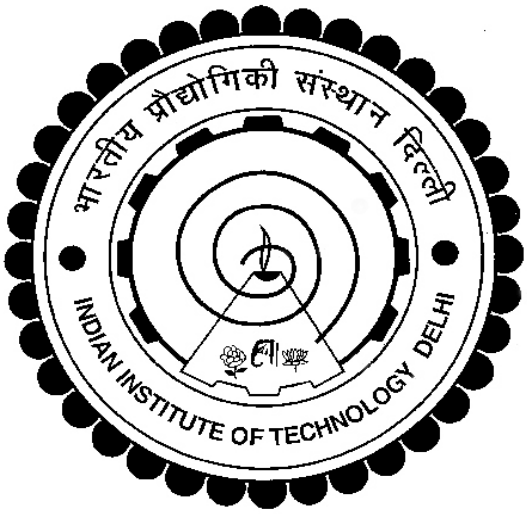

DEPARTMENT OF TEXTILE AND FIBRE ENGINEERING

INDIAN INSTITUTE OF TECHNOLOGY DELHI

June 2023

STRUCTURAL MECHANICS OF 3D WOVEN HONEYCOMB COMPOSITES

by

LEKHANI TRIPATHI

Department of Textile and Fibre Engineering

Submitted

in fulfilment of the requirement of the degree of Doctor of Philosophy

to the

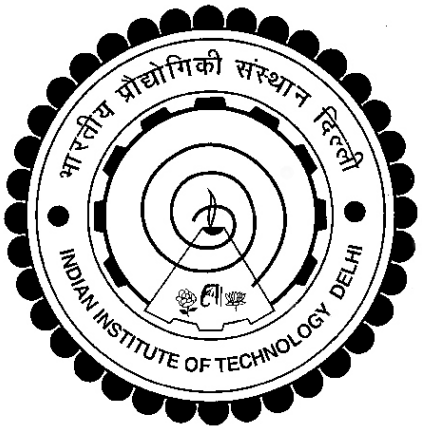

DEPARTMENT OF TEXTILE AND FIBRE ENGINEERING

INDIAN INSTITUTE OF TECHNOLOGY DELHI

June 2023

Dedicated To My Parents

CERTIFICATE

This is to certify that the thesis entitled **"Structural mechanics of 3D woven honeycomb composites"** being submitted by **Ms. Lekhani Tripathi,** Entry No. **2018TTZ8454** to the Indian Institute of Technology Delhi for the award of the degree of **Doctor of Philosophy** is a record of bonafide research work carried out by her. Ms. Lekhani Tripathi has worked under my guidance and supervision. She has fulfilled all the requirements for the submission of this thesis. The results contained in this thesis have not been submitted, in part or full, to any other University or Institute for the award of any degree or diploma.

Date: 14/06/2023

Place: New Delhi

Prof. B K Behera

Department of Textile and Fibre Engineering

Indian Institute of Technology Delhi

New Delhi-110016

ACKNOWLEDGEMENTS

Words of appreciation and gratitude fall short of acknowledging the inspiring guidance, valuable suggestions, and constant encouragement provided by Prof. B.K. Behera at every stage of this research. I enjoyed and learned a lot working under him throughout my Ph.D. I gratefully acknowledge the help and suggestions of my SRC members Prof. R. Alagirusamy, Prof. Samrat Mukhopadhyay, Prof. S. P. Singh (Department of Mechanical Engineering), and other faculty members of the department.

I acknowledge the help & cooperation of the lab staff, especially Mr. Vikas Khatkar, Mr. M. Kundu, and Mr. M. Singh, and I am thankful to all my friends, especially Mr. Gagandeep Singh Bhatia, Dr. Ghanshyam Neje, Dr. Zunjarrao Kamble, Dr. R.N. Manjunath, Mr. Soumya Chowdhury, Mr. Rupesh Ganvir, Dr. Meenakshi Ahirwar, Ms. Jaya Sharma, Ms. Shiwangi Shukla, Mr. Makhan Singh, Mr. Sandeep Olhan, Mr. Sameer Kumar Behera, Mr. Dushyant Dubey, Mr. Shubham Agnihotri and, Mr. Omender Kumar, for their help, support, and encouragement. At last, I would like to thank everyone who contributed directly or indirectly during my research work.

I express my sincere gratitude to my mother, father, brother, and friends for their motivation, moral support, and understanding.

Date:14/06/2023 **Lekhani Tripathi**

Place: New Delhi

Abstract

Honeycomb is considered an excellent structural material because of its high strength and shear rigidity, excellent energy absorbing property, high impact strength, lower weight, high crushing stress, and almost constant crushing force. Honeycomb being a cellular solid is a well-known core used to build sandwich structures while making structural composites. Because of this excellent mechanical performance, honeycombs are frequently used in the aircraft industry as a core of sandwich panels and in the automotive industry as efficient impact attenuators. The hollow spaces in the honeycomb structure reduce weight but also ensure the required strength, provided they are designed correctly. 3D woven honeycomb composite has a promising future in the lightweight application areas and can be the real substitute for aluminum and other metal alloys as these structures provide structural integrity. This thesis focuses on the manufacturing of lightweight 3D woven honeycomb composite structures of different cell geometry, the number of layers, face thickening sheet, honeycomb with different fibers, cell cross-sectional shape, different directions of hexagonal channels during weaving of honeycomb, and investigation of the effect of these parameters on the mechanical performance of their respective composites. Additionally, a comparison is made between the 3D woven honeycomb composite with metallic and 3D printed polymeric honeycomb composite structures of similar cell geometry with respect to their mechanical properties.

The textile fiber-based 3D woven honeycomb structure is engineered by using fabric geometrical parameters and mathematical expressions have been developed to calculate the repeat unit weight, fiber volume fraction (FVF), and specific weight of 3D woven honeycomb structures. Five 3D woven honeycomb fabric samples with different cell sizes of E-glass fiber were produced using model-based construction parameters on a customized rapier weaving machine. Fabric

dimensional parameters were determined experimentally to validate the model value with actual results. A reasonably high agreement was observed between experimental and theoretical values. This model can be used as a tool to engineer woven honeycomb reinforcement architecture to produce lightweight structural composite materials. The main objective of this section is to predict the weight of the repeat unit, FVF, and specific weight of the honeycomb structure with different cell geometrical parameters and different materials well before its production on the weaving machine.

In the next chapter, 3D woven honeycomb structures were developed with different cell geometry by varying the cell size, free wall length, bonded wall length, opening angle, and the number of honeycomb layers keeping overall composite thickness and cell shape constant. The variation of cell geometry was carried out by changing the number of picks in the honeycomb wall. Composite samples were prepared from the honeycomb preforms with epoxy resin (matrix) using VARIM (vacuum-assisted resin infusion method) process and characterized for their flatwise compression behavior. The results revealed that the structural parameters of the 3D woven honeycomb composite influenced flatwise compression energy significantly. The regular cell shape, smaller cell size, and higher number of layers of honeycomb composites exhibited higher specific energy absorption in flatwise compression. In edgewise compression and three-point bending analysis, the specific ultimate load is higher for a honeycomb composite structure with an opening angle of 60°, smaller cell sizes, small wall length, and for a higher number of layers keeping constant thickness or constant cell shape. In the low-velocity impact test, structural changes in honeycomb composite significantly affect the specific impact energy absorption. The specific impact energy absorption increases with large cell size, less opening angle, higher wall length, and a greater number of layers. The thickened face sheet was expected not to contribute to the compressive load

of the honeycomb structure; however, the bending load was improved consistently with the addition of each face sheet to the honeycomb core. 2LFC (Two-layer face sheet) has higher strength while with the increase in layer and also with 3D solid structure face sheet, specific compression energy decreased. An increase in face sheet thickness did not help to increase specific compression energy absorption but had a negative effect because of the increased weight and volume. The specific bending load was observed to be higher for 3D solid structure face sheet honeycomb composite as compared to 2D face sheet honeycomb composite of similar thickness.

3D woven honeycomb composites were prepared using three different fibers including natural and high-performance fibers to study the effect of fiber type on the mechanical properties of the honeycomb structure. The honeycomb fabric samples of similar areal density and cell size were produced from glass, sisal, and Kevlar fibers. The fabric samples were woven with similar free wall and bonded wall lengths by using a pre-decided number of picks. Other honeycomb cells parameters such as the height of the cell and the opening angle were kept constant by fabricating the moulds of the required dimension as per honeycomb cell size. Specific flatwise compression energy and specific ultimate load in edgewise compression was observed to be higher for Kevlar fiber composite as compared to glass, and sisal fiber composite. In the three-point bending and in-plane impact test, the Glass fiber honeycomb composite gives a higher specific bending load and impact energy compared to Kevlar and sisal honeycomb composites.

Numerical simulation along with experimental validation was used to investigate the flatwise compression behavior in the out-of-plane direction of 3D woven honeycomb composites with varied cell cross-sectional shapes such as hexagonal, triangular, and rectangular cell shapes. The total and unit cell perimeter of all three honeycomb cell shapes were kept constant to enable comparison of mechanical behavior. Edgewise compression, three-point bending behavior, and

impact energy were compared experimentally for all three configurations. The effect of cell cross-sectional shape on the mechanical properties of honeycomb composites was investigated. Among three honeycomb composites, hexagonal honeycomb gives superior mechanical performance. The flatwise compression behaviour of honeycomb structures has been predicted using FEM on the LS-DYNA platform, and the results have been validated using experimental data. The predicted values were in good agreement with the experimental results. Hexagonal honeycomb gives better flatwise compression energy as compared to other cell cross-sectional shapes as revealed by both experimental and numerical analysis.

The design and manufacturing of 3D woven honeycomb fabrics and their composites in both warp and weft directions were carried out to examine the effect of the direction of the hexagonal channel on the mechanical properties of the composites. Both the preforms were converted to their respective composites and mechanical analysis was carried out to understand the comparative advantage of the warp and weft way honeycomb weaving systems. The mechanical characteristics such as compression, three-point bending, and in-plane impact of composite samples were investigated keeping cell parameters constant. The comparison of mechanical properties of these two honeycomb composite samples revealed that warp-way honeycomb composites give better performance in edgewise compression and three-point bending test while weft-way honeycomb composite gives higher energy absorption under flatwise compression and high in-plane impact resistance. The direction of cell channels decides the direction of loading to the honeycomb cell. Since the crimps in the warp and weft directions are different, the deformation of honeycomb composite cells ought to be different in the warp and weft directions.

In the last chapter, the mechanical characteristics of 3D woven honeycomb composites were compared with the honeycomb of the existing technology of metallic honeycomb and polymeric

3D printed honeycomb. Mechanical characterization of aluminum honeycomb and 3D woven Kevlar honeycomb composite sandwich panels concerning their flatwise, edgewise compression, and three-point bending tests were carried out. 3D woven Kevlar honeycomb composite gives better results than the aluminum honeycomb for flatwise and three-point bending behavior. In the case of edgewise compression, aluminum honeycomb gives significant results as compared to 3D woven Kevlar honeycomb composite. The investigation of the mechanical behavior (i.e., compression, flexural, and impact) of FDM (fused deposition modelling)-built honeycomb structures and their comparison with 3D woven honeycomb composite structures were carried out. E-glass tow of 600 Tex was used to produce woven honeycomb samples. ABS (acrylonitrile butadiene styrene) was used as basic material to produce 3D printed honeycomb composite samples of identical cell geometry by the FDM process. The mechanical characterization revealed that the woven honeycomb structure gives better mechanical properties than the FDM-built honeycomb specimen. In flatwise compression, the FDM specimens give significant results as compared to woven honeycomb composites. However, other mechanical characteristics such as edgewise compression, three-point bending, and low-velocity impact behavior of woven honeycomb composites are superior to those of FDM specimens.

This research confirmed that the mechanical performance of 3D woven honeycomb composite structures is influenced by different parameters such as cell geometry, number of layers, face sheet thickening, fiber type, cell cross-sectional shape, and directions of hexagonal channels of honeycomb preform during weaving. The finding of this study can help to design and manufacture the honeycomb structures according to the end-use applications as it encompasses the detailed investigation of the mechanical performance of 3D woven honeycomb composites of different structural parameters. A comprehensive analysis of the relative advantage of honeycombs of

different manufacturing methods can be used as a suggestive guideline to select the appropriate technique based on mechanical performance, end-use applications, and cost of manufacturing.

सार

हनीकॉम्ब को इसकी उच्च शक्ति और कतरनी कठोरता, उत्कृष्ट ऊर्जा अवशोषित संपत्ति, उच्च प्रभाव शक्ति, कम वजन, उच्च पेराई तनाव और लगभग निरंतर पेराई बल के कारण एक उत्कृष्ट संरचनात्मक सामग्री माना जाता है। हनीकॉम्ब एक सेलुलर ठोस होने के नाते एक प्रसिद्ध कोर है जिसका उपयोग संरचनात्मक कंपोजिट बनाते समय सैंडविच संरचनाओं के निर्माण के लिए किया जाता है। इस उत्कृष्ट यांत्रिक प्रदर्शन के कारण, विमान उद्योग में अक्सर सैंडविच पैनल के कोर के रूप में और मोटर वाहन उद्योग में कुशल प्रभाव क्षीणकों के रूप में हनीकॉम्ब का उपयोग किया जाता है। हनीकॉम्ब संरचना में खोखले स्थान वजन कम करते हैं लेकिन आवश्यक ताकत भी सुनिश्चित करते हैं, बशर्ते वे सही ढंग से डिजाइन किए गए हों।3डी बुने हुए हनीकॉम्ब सम्मिश्र का हल्के अनुप्रयोग क्षेत्रों में एक आशाजनक भविष्य है और यह एल्यूमीनियम और अन्य धातु मिश्र धातुओं के लिए वास्तविक विकल्प हो सकता है क्योंकि ये संरचनाएं संरचनात्मक अखंडता प्रदान करती हैं। यह थीसिस विभिन्न सेल ज्यामिति के हल्के 3डी बुने हुए हनीकॉम्ब समग्र संरचनाओं के निर्माण, परतों की संख्या, फ़ेस शीट को मोटा करने वाली शीट, विभिन्न तंतुओं के साथ हनीकॉम्ब, सेल क्रॉस-अनुभागीय आकार, हनीकॉम्ब की बुनाई के दौरान हेक्सागोनल चैनलों की विभिन्न दिशाओं और जांच पर केंद्रित है। उनके संबंधित कंपोजिट के यांत्रिक प्रदर्शन पर इन मापदंडों के प्रभाव का। इसके अतिरिक्त, उनके यांत्रिक गुणों के संबंध में समान सेल ज्यामिति के धातु और 3 डी मुद्रित बहुलक हनीकॉम्ब समग्र संरचनाओं के साथ 3डी बुने हुए छत्ते के बीच तुलना की जाती है।

कपड़ा फाइबर आधारित 3डी बुनी हुई हनीकॉम्ब संरचना को कपड़े के ज्यामितीय मापदंडों का उपयोग करके इंजीनियर किया गया है और दोहराने वाली इकाई वजन, फाइबर वॉल्यूम अंश (एफवीएफ), और 3डी बुने हुए हनीकॉम्ब संरचनाओं के विशिष्ट वजन की गणना करने के लिए गणितीय अभिव्यक्ति विकसित की गई है। ई-ग्लास फाइबर के विभिन्न सेल आकारों के साथ पांच 3डी बुने हुए छत्ते के कपड़े के नमूने एक

अनुकूलित रेपियर बुनाई मशीन पर मॉडल-आधारित निर्माण मापदंडों का उपयोग करके तैयार किए गए थे। वास्तविक परिणामों के साथ मॉडल मूल्य को मान्य करने के लिए फैब्रिक डायमेंशनल पैरामीटर प्रयोगात्मक रूप से निर्धारित किए गए थे। प्रायोगिक और सैद्धांतिक मूल्यों के बीच यथोचित उच्च समझौता देखा गया। हल्के संरचनात्मक समग्र सामग्री का उत्पादन करने के लिए इस मॉडल को इंजीनियर बुने हुए हनीकोम्ब सुदृढीकरण आर्किटेक्चर के उपकरण के रूप में उपयोग किया जा सकता है। इस खंड का मुख्य उद्देश्य बुनाई मशीन पर इसके उत्पादन से पहले विभिन्न सेल ज्यामितीय मापदंडों और विभिन्न सामग्रियों के साथ रिपीट यूनिट, एफवीएफ और हनीकॉम्ब संरचना के विशिष्ट वजन का अनुमान लगाना है।

अगले अध्याय में, सेल आकार, मुक्त दीवार की लंबाई, बंधी हुई दीवार की लंबाई, उद्घाटन कोण, और समग्र समग्र मोटाई और सेल आकार को स्थिर रखते हुए छत्ते की परतों की संख्या को अलग-अलग सेल ज्यामिति के साथ 3 डी बुने हुए हनीकॉम्ब संरचनाओं को विकसित किया गया था। हनीकॉम्ब की दीवार में पिक्स की संख्या को बदलकर सेल ज्यामिति की भिन्नता को अंजाम दिया गया। VARIM (वैक्यूम-असिस्टेड रेजिन इन्फ्यूजन मेथड) प्रक्रिया का उपयोग करके एपॉक्सी राल (मैट्रिक्स) के साथ छत्ते के प्रीफॉर्म से समग्र नमूने तैयार किए गए और उनके फ्लैटवाइज संपीड़न व्यवहार की विशेषता बताई गई। परिणामों से पता चला कि 3डी बुने हुए हनीकॉम्ब सम्मिश्र के संरचनात्मक मापदंडों ने फ्लैटवाइज संपीड़न ऊर्जा को महत्वपूर्ण रूप से प्रभावित किया। नियमित सेल आकार, छोटे सेल आकार, और हनीकॉम्ब कंपोजिट की उच्च संख्या में परतों ने फ्लैटवाइज संपीड़न में उच्च विशिष्ट ऊर्जा अवशोषण प्रदर्शित किया। एजवाइज कम्प्रेशन और थ्री-पॉइंट बेंडिंग एनालिसिस में, 60 डिग्री के ओपनिंग एंगल, छोटे सेल साइज, छोटी दीवार की लंबाई और लगातार मोटाई या स्थिर सेल रखने वाली परतों की उच्च संख्या के साथ हनीकॉम्ब कम्पोजिट स्ट्रक्चर के लिए विशिष्ट अंतिम भार अधिक होता है। आकार। कम-वेग प्रभाव परीक्षण में, हनीकॉम्ब समग्र में संरचनात्मक परिवर्तन विशिष्ट प्रभाव ऊर्जा अवशोषण को महत्वपूर्ण रूप से प्रभावित करते हैं। विशिष्ट प्रभाव ऊर्जा अवशोषण बड़े

सेल आकार, कम उद्घाटन कोण, उच्च दीवार की लंबाई और अधिक संख्या में परतों के साथ बढ़ता है। मोटी शीट से छत्ते की संरचना के संपीड़ित भार में योगदान नहीं करने की उम्मीद की गई थी, हालांकि, प्रत्येक चेहरे की शीट को हनीकॉम्ब कोर में जोड़ने के साथ झुकने वाले भार में लगातार सुधार हुआ था। 2LFC (टू-लेयर फेस शीट) में उच्च शक्ति है जबकि परत में वृद्धि के साथ और 3D ठोस संरचना फेस शीट के साथ, विशिष्ट संपीड़न ऊर्जा में कमी आई है। फेस शीट की मोटाई में वृद्धि ने विशिष्ट संपीड़न ऊर्जा अवशोषण को बढ़ाने में मदद नहीं की, लेकिन वजन और मात्रा में वृद्धि के कारण इसका नकारात्मक प्रभाव पड़ा। समान मोटाई के 2डी फेस शीट हनीकॉम्ब कम्पोजिट की तुलना में 3डी सॉलिड स्ट्रक्चर फेस शीट हनीकॉम्ब कम्पोजिट के लिए विशिष्ट बेंडिंग लोड अधिक पाया गया।

हनीकॉम्ब संरचना के यांत्रिक गुणों पर फाइबर प्रकार के प्रभाव का अध्ययन करने के लिए प्राकृतिक और उच्च-प्रदर्शन फाइबर सहित तीन अलग-अलग फाइबर का उपयोग करके 3डी बुने हुए हनीकॉम्ब कंपोजिट तैयार किए गए थे। समान क्षेत्र घनत्व और कोशिका आकार के हनीकॉम्ब के कपड़े के नमूने का गिलास, सिसल और केवलर फाइबर से निर्मित किए गए थे। कपड़े के नमूने समान मुक्त दीवार और बंधी हुई दीवार की लंबाई के साथ पूर्व-निर्धारित संख्या में पिक्स का उपयोग करके बुने गए थे। अन्य हनीकॉम्ब कोशिकाओं के मापदंडों जैसे कि कोशिका की ऊंचाई और उद्घाटन कोण को छत्ते के आकार के अनुसार आवश्यक आयाम के सांचों को बनाकर स्थिर रखा गया था। ग्लास और सिसल फाइबर कम्पोजिट की तुलना में केवलर फाइबर कम्पोजिट के लिए विशिष्ट फ्लैटवाइज कंप्रेशन एनर्जी और एजवाइज कंप्रेशन में विशिष्ट अंतिम भार अधिक पाया गया। थ्री-पॉइंट बेंडिंग और इन-प्लेन इम्पैक्ट टेस्ट में, ग्लास फाइबर हनीकॉम्ब कम्पोजिट केवलर और सिसल हनीकॉम्ब कंपोजिट की तुलना में उच्च विशिष्ट झुकने वाला भार और प्रभाव ऊर्जा देता है।

प्रयोगात्मक सत्यापन के साथ संख्यात्मक सिमुलेशन का उपयोग हेक्सागोनल, त्रिकोणीय और आयताकार सेल आकृतियों जैसे विभिन्न सेल क्रॉस-अनुभागीय आकृतियों के साथ 3डी बुने हुए हनीकॉम्ब कंपोजिट के

आउट-ऑफ-प्लेन दिशा में फ्लैटवाइज संपीड़न व्यवहार की जांच के लिए किया गया था। यांत्रिक व्यवहार की तुलना को सक्षम करने के लिए सभी तीन हनीकॉम्ब सेल आकृतियों की कुल और इकाई सेल परिधि को स्थिर रखा गया था। तीनों विन्यासों के लिए समान रूप से संपीड़न, तीन-बिंदु झुकने वाला व्यवहार और प्रभाव ऊर्जा की प्रयोगात्मक रूप से तुलना की गई थी। हनीकॉम्ब कंपोजिट के यांत्रिक गुणों पर सेल क्रॉस-सेक्शनल आकार के प्रभाव की जांच की गई। तीन हनीकॉम्ब सम्मिश्रणों में, हेक्सागोनल हनीकॉम्ब बेहतर यांत्रिक प्रदर्शन देता है। एलएस-डीवाईएनए प्लेटफॉर्म पर एफईएम का उपयोग करके हनीकॉम्ब संरचनाओं के फ्लैटवाइज संपीड़न व्यवहार की भविष्यवाणी की गई है, और प्रयोगात्मक डेटा का उपयोग करके परिणामों को मान्य किया गया है। प्रायोगिक परिणामों के साथ अनुमानित मूल्य अच्छे समझौते में थे। हेक्सागोनल हनीकॉम्ब अन्य सेल क्रॉस-सेक्शनल आकृतियों की तुलना में बेहतर सपाट संपीड़न ऊर्जा देता है जैसा कि प्रायोगिक और संख्यात्मक विश्लेषण दोनों से पता चलता है।

कंपोजिट के यांत्रिक गुणों पर हेक्सागोनल चैनल की दिशा के प्रभाव की जांच करने के लिए 3डी बुने हुए हनीकॉम्ब के कपड़े और ताना और बाना दोनों दिशाओं में उनके कंपोजिट का डिजाइन और निर्माण किया गया। दोनों प्रीफॉर्म्स को उनके संबंधित कंपोजिट में परिवर्तित किया गया था और ताने और बाने के तरीके हनीकॉम्ब बुनाई प्रणालियों के तुलनात्मक लाभ को समझने के लिए यांत्रिक विश्लेषण किया गया था। सेल मापदंडों को स्थिर रखते हुए यांत्रिक विशेषताओं जैसे संपीड़न, तीन-बिंदु झुकने और मिश्रित नमूनों के इन-प्लेन प्रभाव की जांच की गई। इन दो हनीकॉम्ब सम्मिश्र नमूनों के यांत्रिक गुणों की तुलना से पता चला है कि वार्प-वे हनीकॉम्ब सम्मिश्रण एजवाइज संपीड़न और तीन-बिंदु झुकने परीक्षण में बेहतर प्रदर्शन देते हैं जबकि वेफ्ट-वे हनीकॉम्ब सम्मिश्र फ्लैटवाइज संपीड़न और उच्च इन-प्लेन प्रभाव प्रतिरोध के तहत उच्च ऊर्जा अवशोषण देता है। . सेल चैनलों की दिशा हनीकॉम्ब सेल को लोड करने की दिशा तय करती है। चूँकि ताने

और बाने की दिशाओं में ऐंठन अलग-अलग होती है, ताने और बाने की दिशाओं में हनीकॉम्ब मिश्रित कोशिकाओं की विकृति अलग-अलग होनी चाहिए।

पिछले अध्याय में, 3डी बुने हुए हनीकॉम्ब कंपोजिट की यांत्रिक विशेषताओं की तुलना धात्विक हनीकॉम्ब और बहुलक 3डी मुद्रित छत्ते की मौजूदा तकनीक के छत्ते से की गई थी। एल्यूमीनियम हनीकॉम्ब और 3डी बुने हुए केवलर हनीकॉम्ब मिश्रित सैंडविच पैनल के यांत्रिक लक्षण वर्णन उनके फ्लैटवाइज, किनारे की दिशा में संपीड़न, और तीन-बिंदु झुकने वाले परीक्षण किए गए। 3डी बुना हुआ केवलर हनीकॉम्ब सम्मिश्र सपाट और तीन-बिंदु झुकने वाले व्यवहार के लिए एल्यूमीनियम हनीकॉम्ब की तुलना में बेहतर परिणाम देता है। किनारे के अनुसार संपीड़न के मामले में, 3डी बुने हुए केवलर हनीकॉम्ब सम्मिश्र की तुलना में एल्यूमीनियम हनीकॉम्ब महत्वपूर्ण परिणाम देता है। एफडीएम (फ्यूज्ड डिपोजिशन मॉडलिंग) निर्मित हनीकॉम्ब संरचनाओं के यांत्रिक व्यवहार (यानी, संपीड़न, फ्लेक्सुरल और प्रभाव) की जांच और 3डी बुने हुए हनीकॉम्ब समग्र संरचनाओं के साथ उनकी तुलना की गई। बुने हुए छत्ते के नमूनों का उत्पादन करने के लिए 600 टेक्स के ई-ग्लास टो का उपयोग किया गया था। FDM प्रक्रिया द्वारा समान सेल ज्यामिति के 3D मुद्रित छत्ते के मिश्रित नमूनों का उत्पादन करने के लिए ABS (एक्रिलोनिट्राइल ब्यूटाडाइन स्टाइरीन) का उपयोग मूल सामग्री के रूप में किया गया था। यांत्रिक लक्षण वर्णन से पता चला है कि बुना हुआ हनीकॉम्ब संरचना एफडीएम-निर्मित छत्ते के नमूने की तुलना में बेहतर यांत्रिक गुण देता है। फ्लैटवाइज कम्प्रेशन में, FDM नमूने बुने हुए हनीकॉम्ब कंपोजिट की तुलना में महत्वपूर्ण परिणाम देते हैं। हालांकि, अन्य यांत्रिक विशेषताएं जैसे कि एडगेवाइज कम्प्रेशन, थ्री-पॉइंट बेंडिंग, और बुने हुए हनीकॉम्ब कंपोजिट के कम-वेग प्रभाव व्यवहार FDM नमूनों से बेहतर हैं।

इस शोध ने पुष्टि की कि 3डी बुने हुए हनीकॉम्ब समग्र संरचनाओं का यांत्रिक प्रदर्शन विभिन्न मापदंडों से प्रभावित होता है जैसे कि सेल ज्यामिति, परतों की संख्या, चेहरे की शीट का मोटा होना, फाइबर प्रकार, सेल क्रॉस-अनुभागीय आकार, और बुनाई के दौरान छत्ते के हेक्सागोनल चैनलों की दिशाएं . इस अध्ययन की खोज अंत-उपयोग अनुप्रयोगों के अनुसार हनीकॉम्ब संरचनाओं को डिजाइन और निर्माण करने में मदद कर सकती है क्योंकि इसमें विभिन्न संरचनात्मक मापदंडों के 3डी बुने हुए हनीकॉम्ब कंपोजिट के यांत्रिक प्रदर्शन की विस्तृत जांच शामिल है। विभिन्न निर्माण विधियों के छत्ते के सापेक्ष लाभ का एक व्यापक विश्लेषण यांत्रिक प्रदर्शन, अंतिम उपयोग अनुप्रयोगों और निर्माण की लागत के आधार पर उपयुक्त तकनीक का चयन करने के लिए एक सुझावात्मक दिशानिर्देश के रूप में उपयोग किया जा सकता है।

Contents

List of Figures

List of Tables

List of Abbreviations

Abbreviation	Description
FVF	Fiber volume fraction of honeycomb fabric
S_{pw}	Specific weight of honeycomb fabric
W_{uc}	Repeat unit weight of honeycomb fabric
VARIM	Vacuum assisted resin infusion method
FEM	Finite element modelling
1LFC	One layer face sheet
FDM	Fused Deposition Modeling
ABS	Acrylonitrile Butadiene Styrene
HX	Hexagonal honeycomb structure
TR	Triangular honeycomb structure
RT	Rectangular honeycomb structure
EPM	Ends per meter
PPM	Picks per meter
CAD	Computer Aided Design
ASTM	American Society for Testing and Materials